



سنگ‌شناسی و زمین‌شیمی سنگ‌های گرانیت‌وئیدی و حدواسط باعچه مریم (جنوب قروه، استان کردستان)

زهره اعلمی‌نیا^{۱*}، فرهاد شیخی^۲، سید محمد حسین رضوی^۲

۱- دانشکده علوم زمین، دانشگاه خوارزمی، تهران

۲- گروه زمین‌شناسی، دانشکده علوم، دانشگاه آزاد اسلامی واحد تهران شمال، تهران، ایران

(دریافت مقاله: ۹۹/۸/۱۷، نسخه نهایی: ۹۹/۱۰/۲۲)

چکیده: توده گرانیت‌وئیدی باعچه مریم در جنوب قروه بخشی از توده‌های نفوذی پهنه سنندج- سیرجان است که روند شمال غربی- جنوب شرقی دارد. بر اساس بررسی‌های صحرایی و کانی‌شناسی، مجموعه نفوذی باعچه مریم از دو واحد اسیدی و حدواسط با طیف سنگ‌های دیوریتی، مونزودیوریتی، گرانیتی، سینیتی و آپلیتی تشکیل شده است. بررسی‌های زمین‌شیمیایی نشان می‌دهد که سنگ‌های این مجموعه از نوع متالومین ($A/CNK=0.46-0.81$) و آهکی‌قیلایی هستند. بر پایه نتایج (از جمله غنی‌شدگی از عناصر خاکی‌نادر سبک و تهی‌شدگی آنها از عناصر خاکی‌نادر سنگین)، این واحدهای سنگی توسط فرایندهای ماقمایی گوناگون ایجاد شده‌اند و واپسی به محیط زمین‌ساختی کرانه فعال قاره‌ای هستند و ویژگی‌های ماقمایی نوع I را نشان می‌دهند. با بررسی‌های زمین‌دما فشارسنگی، میانگین دمای نمونه‌ها حدود ۷۰۰ درجه سانتیگراد و عمق حدود ۷ تا ۱۰ کیلومتر برآورد شده است.

واژه‌های کلیدی: سنندج- سیرجان؛ گرانیت‌وئیدی؛ باعچه‌مریم؛ زمین‌شیمی.

زدگی‌ها و دگرگونی‌های جنوب قروه انجام شده است که از جمله مهم‌ترین آنها می‌توان به مراجع [۱۰-۱] اشاره کرد. در این پژوهش‌ها، توده‌های نامبرده از دیدگاه ویژگی‌های سنگ‌شناسی و ایزوتوبی بررسی شده‌اند، اما ویژگی‌های عنصرهای خاکی‌نادر و شیمی کانی کمتر بررسی شده است. در این پژوهش، با بررسی‌های اصولی بر توده‌های نفوذی منطقه باعچه‌مریم قروه و به کارگیری روابط صحرایی، سنگ‌شناسی و داده‌های تجزیه سنگ کل و کانی، ویژگی‌های گوناگون سنگ-شناسی و زمین‌شیمیایی سنگ‌های گرانیت‌وئیدی و حدواسط منطقه باعچه مریم شناسایی شد تا وابستگی آنها با هم روشن‌تر گردد.

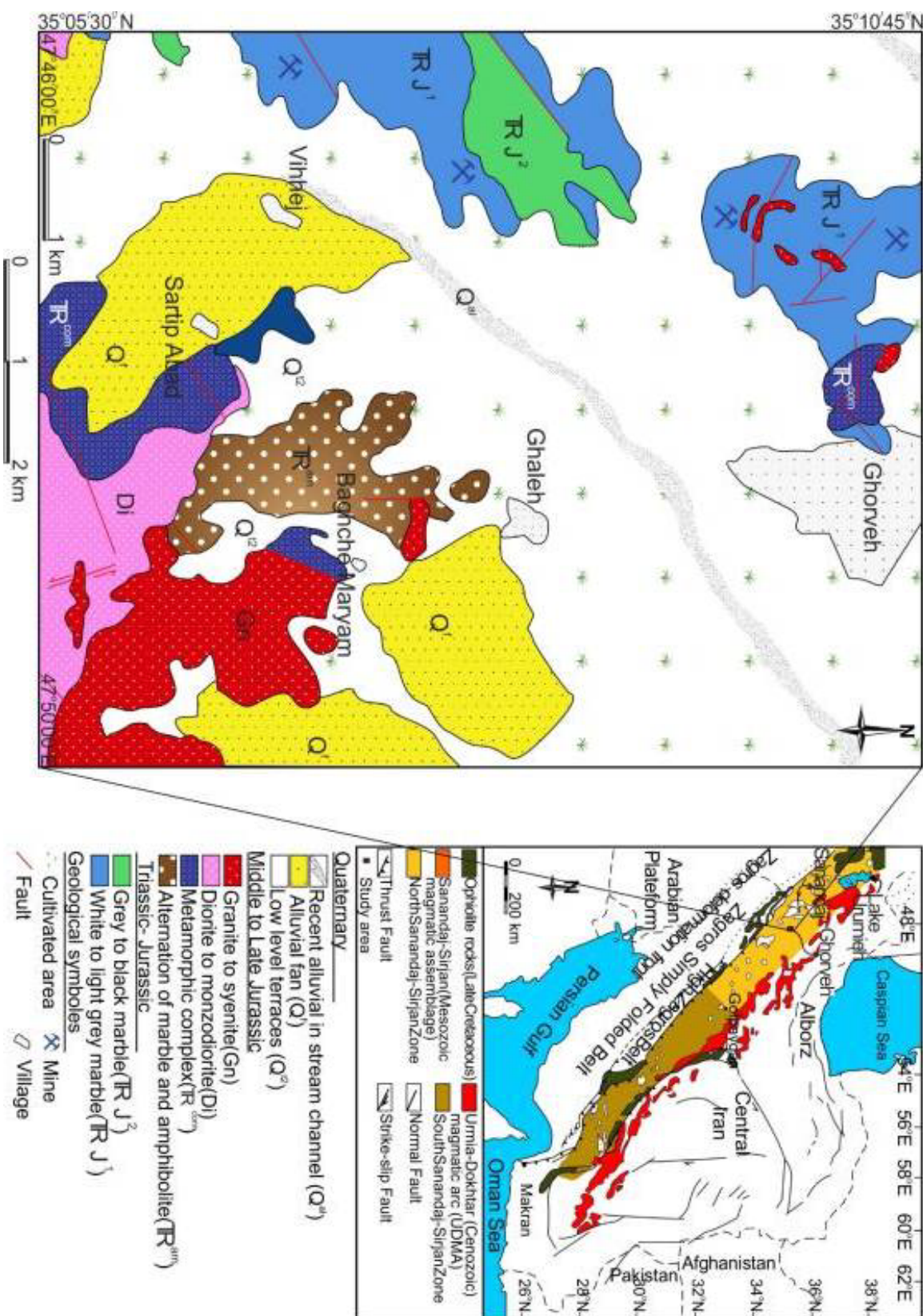
موقعیت جغرافیایی و زمین‌شناسی

منطقه مورد بررسی در شمال غربی ایران (استان کردستان) جنوب شهرستان قروه به طول‌های جغرافیایی "۴۷°۰'۰" تا "۴۷°۵۱'۰" شرقی و عرض‌های جغرافیایی "۳۵°۰'۰" تا "۳۵°۱'۵"

مقدمه
پهنه سنندج- سیرجان به عنوان یکی از پیچیده‌ترین پهنه‌های ساختاری ایران، با گسترش وسیع واحدهای دگرگونی و توده-های نفوذی گرانیت‌وئیدی مشخص می‌شود که بخش بزرگی از غرب ایران را پوشانیده است (شکل ۱ الف).

در این پهنه، واحدهای رسوبی، آتشفسانی و نفوذی پرکامبرین پسین تا مژوزوئیک دستخوش چند فاز کوه‌زایی و دگرگونی شده‌اند. هم‌زمان با این فعالیت‌ها، توده‌های نفوذی بی‌شماری با اندازه متغیر از دایک، سیل و استوک تا مجموعه‌های با تولیتی در سنگ‌های قدیمی‌تر نفوذ کرده‌اند. افزون بر دگرگونی‌های ناحیه‌ای و مجاورتی ناشی از نفوذ توده‌های نفوذی، دگرگونی در پهنه‌های برشی در منطقه سنندج- سیرجان گسترش دارد.

تاکنون بررسی‌های زمین‌شناسی بسیاری بر آتشفسان‌های شمال قروه، توده‌های نفوذی غرب- جنوب غرب قروه و بیرون



شکل ۱ (الف) جایگاه منطقه مورد بررسی در پهنه سندج-سیرجان [۱۱]، (ب) نقشه زمین‌شناسی منطقه مورد بررسی بر گرفته از مرجع [۱] با کمی تغییرات.

سنگ‌های گرانیت، سینیت، مونزودیوریت و دیوریت هستند که درون برخی از آن‌ها برونبوهای ریزدانه‌ای مافیک ریز تا متوسط دانه با ترکیب دیوریت تا مونزودیوریت وجود دارد که مرز کاملاً مشخص و ناگهانی را نشان می‌دهد (شکل ۲ ب). این نفوذی‌ها اغلب توسط دایک‌های آپلیتی-پگماتیتی و رگمه‌های کوارتزی به صورت شعاعی قطع می‌شوند. ضخامت این دایک‌ها از ۱۵ سانتی‌متر تا یک متر متغیر است. روابط سنی بین سنگ‌های نفوذی این مجموعه کاملاً روشن نبوده و کنترل زمین‌زمان‌شناسی ممکن نیست. البته با توجه به شواهد صحرایی از جمله وجود برونبوهای دیوریتی و وجود دایک‌های نامنظم گرانیتی که به درون توode‌های دیوریتی نفوذ کرده‌اند، می‌توان سنگ‌های حدواسط را اغلب قدیم‌تر از سنگ‌های اسیدی در نظر گرفت (شکل‌های ۲ پ و ت).



شکل ۲ رخمنونهایی از سنگ‌های آذرین و دگرگونی: (الف) سنگ‌های میزان از جنس مرمر، متاچرت و آمفیبولیت که طی ژوراسیک پسین دگرشکل شده‌اند (دید به سمت شمال شرق)، (ب) برونبوهای ریزدانه‌ای دیوریتی درون سنگ گرانیت (دید به سمت جنوب)، (پ) دایک‌های آپلیتی لوكوگرانیتی که سنگ‌های مونزودیوریتی را قطع کرده‌اند (دید به سمت جنوب غرب) و (ت) رگمه‌های کوارتز نشانده‌نده فاز نهایی تزریق در منطقه مورد بررسی (دید به سمت جنوب غرب). تصاویر الف و پ سمت راست تصاویر ب و ت قرار گیرند.

" $10^{\circ} 35^{\circ}$ شمالی واقع است (شکل ۱). این منطقه از نظر تقسیم‌بندی پهنه‌های ساختاری ایران، بخشی از پهنه سندج-سیرجان شمالی است که به صورت مجموعه دگرگونی با سن-تریاس-ژوراسیک و سنگ‌های مرمر، آمفیبولیت، شیست سبز، چرت و کوارتزیت مشخص می‌شود که دگرشکل شدن و ساختارهای دگرگونی چند مرحله‌ای را نشان می‌دهد (شکل ۲ الف). این سنگ‌های دگرگونی با توده نفوذی گرانیت‌وئیدی با سن ژوراسیک میانی تا پسین قطع شده است [۱۲]. توده نفوذی با چه میریم با ریختار حلقوی و روند شمال غربی-جنوب شرقی با سطح هوازدگی هموار مشخص می‌شود. نفوذی‌های مورد بررسی به صورت مجموعه و شامل تنوعی از انواع

دگرسانی‌های سریسیتی و سوسوریتی شده‌اند. آمفیبیول‌ها از نوع هورنبلند سبز بوده و بیشتر نیمه شکل‌دار هستند و گاهی به کلریت، تیتانیت و کانی‌های کدر دگرسان شده‌اند. کلینوپیروکسن در این سنگ‌ها اغلب نیمه شکل‌دار تا شکل‌دار بوده و به درجه‌های متفاوتی اورالیتی شده است. بیوتیت کانی فرومیزین دیگری است که کانی‌های اصلی را همراهی می‌کند و به دو گونه مختلف اولیه و ثانویه یافت می‌شود. بیوتیت اولیه اغلب درشت‌تر است و به صورت انباشتی از بلورهای نیمه شکل‌دار و به رنگ قهوه‌ای دیده می‌شود. بیوتیت ثانویه از دگرسانی کانی‌های دیگر شکل گرفته است. ارتوکلاز و کوارتز اغلب بی‌شکل هستند و با حجم کمتر از ۳ درصد، در فضای بین کانی‌های دیگر قرار دارند و از کانی‌های فرعی محسوب می‌شوند. از دیگر کانی‌های فرعی این سنگ‌ها، می‌توان به تیتانیت، آپاتیت، زیرکن و کانی‌های کدر اشاره کرد. فلدسپارهای قلیایی و پلازیوکلازها در برخی نمونه‌ها دچار دگرسانی شده و به مجموعه‌هایی از کانی‌های رسی و زوئیزیت، کلینوزوئیزیت، کلسیت و کلریت تبدیل گردیده‌اند.

کوارتز مونزودیوریت‌ها دارای مرز تدریجی با توده دیوریتی هستند. به نظر می‌رسد که این سنگ‌ها هم‌زمان با توده دیوریتی باعچه‌مریم نفوذ کرده‌اند. کوارتز مونزودیوریت‌ها با بافت دانه‌ای نیمه شکل‌دار ریز تا متوسط دانه دیده می‌شوند (شکل ۳ ب). کانی‌های اصلی این سنگ‌ها شامل پلازیوکلاز (۴۰-۵۰ درصد حجمی)، آمفیبیول (۲۰-۲۵ درصد حجمی)، ارتوکلاز (۱۰-۱۵ درصد حجمی)، کوارتز (۱۰-۵ درصد حجمی)، بیوتیت (۲-۵ درصد حجمی) و کلینوپیروکسن (کمتر از ۵ درصد حجمی) هستند. کانی‌های فرعی شامل تیتانیت، آپاتیت، زیرکن و کانی‌های کدر هستند. کانی‌های ثانویه شامل اپیدوت، کلسیت، کلریت، سریسیت و اکتینولیت هستند.

سنگ‌های اسیدی به دو صورت توده‌های بزرگ در شمال منطقه مورد بررسی و نیز زائددهایی در جنوب منطقه پراکندگی دارند. مرز توده‌های نفوذی اسیدی با توده‌های نفوذی حدواتست به صورت ناگهانی و مشخص است. سنگ‌های اسیدی منطقه شامل سنگ‌های گرانیتی و سینیتی هستند که در نقشه زمین‌شناسی با Gn مشخص شده‌اند. این گروه با بافت دانه‌ای درشت تا ریز دانه مشخص می‌شود که در نمونه دستی به رنگ سبز روشن تا خاکستری تیره دیده می‌شود.

روش بررسی

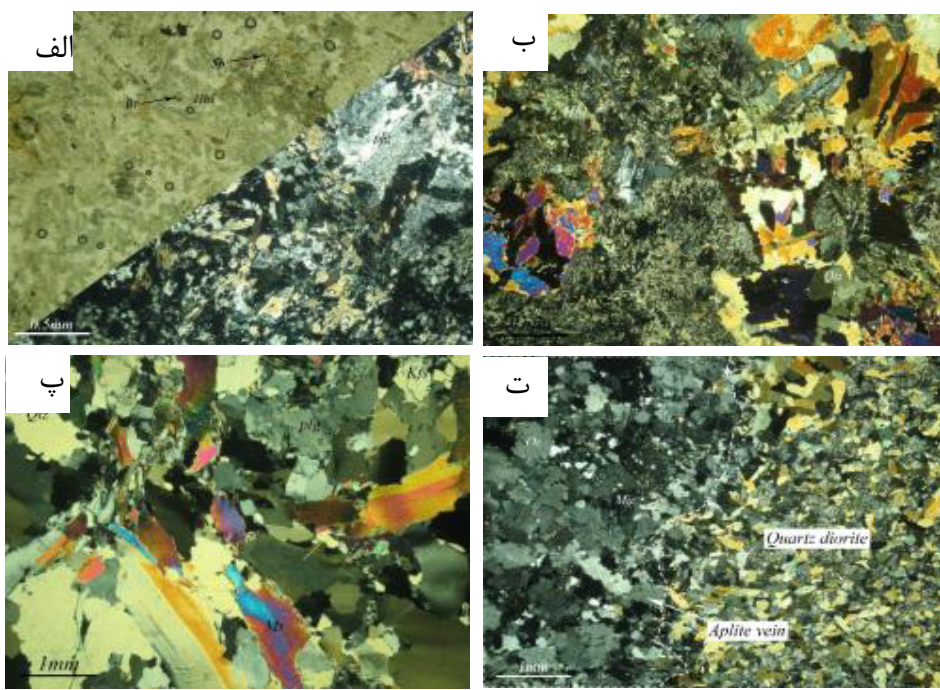
برای انجام این پژوهش، از فازهای نفوذی اسیدی، حدواتست و برونبووم‌های موجود در آن‌ها، در مجموع ۲۱۰ نمونه برداشت شد و برای بررسی‌های سنگنگاری از آنها مقطع نازک تهیه گردید. به منظور بررسی ویژگی‌های زمین‌شیمیایی توده‌های نفوذی منطقه، تعداد ۱۷ نمونه سنگ با کمترین هوازدگی برای تجزیه عناصر اصلی به روش طیفسنجی فلئورسانس پرتونی ایکس (XRF) با دستگاه فیلیپس PW2400 به شرکت طیف کانسaran بینالود در مشهد و ۶ نمونه نیز برای اندازه‌گیری مقادیر عناصر کمیاب و خاکی‌نادر به روش طیفسنجی جرمی پلاسمای جفت‌شده القایی (ICP-MS) به آزمایشگاه ACME کشور کانادا ارسال شدند. هم‌چنین ۴ نمونه از توده نفوذی باعچه مریم با کمترین هوازدگی و دگرسانی برای تجزیه با ریزکاول الکترونی به دانشگاه ساپینزا در رم ایتالیا فرستاده شدند. در این نمونه‌ها، ۸ نقطه از آمفیبیول با دستگاه ریزکاول الکترونی مدل Cameca SX-50، با ولتاژ شتاب‌دهنده kV ۱۵ و جریان ۱۵ nA تجزیه شدند.

سنگ‌شناسی

مجموعه گرانیت‌وئیدی و حدواتست باعچه مریم دارای ترکیب‌های سنگ‌شناسی متنوع و به هم پیوسته شامل دو گروه بزرگ سنگ‌های حدواتست و اسیدی است که در ادامه توصیف می‌شوند.

سنگ‌های حدواتست شامل سنگ‌های دیوریت و کوارتز مونزودیوریت هستند و در نقشه سنگ‌شناسی منطقه با Di مشخص شده‌اند. رخنمون سنگ‌های دیوریت گابرووی به ندرت دیده می‌شود و این گروه از سنگ‌ها بیشتر به صورت برونبووم‌هایی درون مجموعه گرانیت‌وئیدی باعچه مریم وجود دارند. این سنگ‌ها با بافت دانه‌ای ریزبلور، لبه‌های سریع منجمد شده و به رنگ سبز تا سیاه در نمونه درستی مشخص می‌شوند.

دیوریت‌ها درشت تا ریزدانه بوده و بافت ناهمسان‌دانه و خال‌خال نشان می‌دهند (شکل ۳ الف). کانی‌های اصلی شامل پلازیوکلاز (۴۵-۶۰ درصد حجمی)، آمفیبیول (۲۵-۳۰ درصد حجمی)، بیوتیت (۵-۷ درصد حجمی) و کلینوپیروکسن (۵-۷ درصد حجمی) هستند. پلازیوکلازها به صورت شکل‌دار تا نیمه شکل‌دار از فراوانی قابل ملاحظه‌ای نسبت به کانی‌های دیگر برخوردارند و اغلب منطقه‌بندی نشان می‌دهند و گاهی دچار



شکل ۳ تصویر میکروسکوپی از نمونه سنگ‌های منطقه مطالعاتی. الف: دیوریت با بافت دانه‌ای که در آن پلاژیوکلازها با ماکل آلبیتی و برخی از بلورهای هورنبلند دگرسان شده است (تصویر سمت راست پاین در حالت PPL و تصویر سمت راست پایین در حالت XPL)، ب: مونزوندیوریت با بافت دانه‌ای، کانی ارتوکلاز به صورت بی‌شکل در فضای بین بلورهای پلاژیوکلاز و هورنبلاند (تصویر XPL)، ج: گرانیت میلیونیتیزه. تبلور دوباره و ایجاد بافت نواری کوارتز و در لوکوگرانیت (تصویر XPL)، د: تصویر میکروسکوپی از رگه آپلیتی که در کوارتز دیوریت نفوذ نموده است. تصاویر الف و پ سمت راست تصاویر ب و ت قرار گیرند.

آپاتیت و زیرکن و کانی‌های کدر هستند. کانی‌های ثانویه نیز کاولینیت، سریسیت، کلریت و اکتنیولیت هستند. آپلیت آخرین فاز نفوذ مagma محسوب می‌شود که به صورت دایک درون فازهای پیش از خود نفوذ کرده است. در شمال منطقه، این سنگ‌ها از مرکز بیشتری برخوردارند. این سنگ به رنگ سفید تا کرم با ترکیب میکروگرانیت و ساخت ریزبلور (آپلیتی) است. ترکیب کانی‌شناسی آن ساده است. بافت آپلیت دانه شکری (آپلیتی) با دانه‌بندی یکنواخت است (شکل ۳ ت). از نظر سنگ‌شناسی، ترکیب بیشتر آنها در حد گرانیت است و بیشتر شامل فلدسپار قلیابی، کوارتز و به مقدار کمتر پلاژیوکلاز هستند. این رگه‌ها از کانی‌های مافیک فقیر هستند. کانی‌های فرعی شامل اسفن، زیرکن، آلانیت و آپاتیت هستند. کانی‌های فرومیزین چون میکای آهن-منیزیم‌دار و گاهی کلریت با میکروکلین (۲-۵ درصد) هستند.

ویژگی‌های زمین‌شیمیایی سنگ کل نتایج داده‌های اکسیدهای اصلی و عناصر نادر و نادر خاکی در جدول‌های ۱ و ۲ ارایه شده است. داده‌های زمین‌شیمیایی

گرانیت غالب‌ترین سنگ ناحیه باعچه مریم است. بافت این سنگ‌ها دانه‌ای، پرتیت و نیز میرمکیت است. بافت تنفس‌آواری نیز در برخی از مقاطع وجود دارد که آثار آن به صورت دگرشکلی در بیوتیتها و پلاژیوکلازها و بازتابلور کوارتز دیده می‌شود. گرانیتها متوسط تا درشت‌دانه هستند (شکل ۳ پ). کانی‌های اصلی آن شامل کوارتز (۳۵-۴۰ درصد حجمی)، پلاژیوکلاز (۲۵-۳۰ درصد حجمی)، فلدسپار پتاسیم (۱۵-۲۵ درصد حجمی)، بیوتیت (۱۵-۲۵ درصد حجمی) و آمفیبول (۸-۵ درصد حجمی) هستند. کانی‌های فرعی شامل تیتانیت، زیرکن و آپاتیت هستند. کانی‌های ثانویه نیز به صورت سریسیت، اپیدوت و کلریت مشخص می‌شوند.

سینیت‌ها مرز تدریجی با توده‌های گرانیتی نشان می‌دهند. بافت این سنگ‌ها دانه‌ای، پرتیتی و خال خال با اندازه دانه متوسط تا ریز است. کانی‌های اصلی شامل فلدسپار پتاسیم (۶۵-۷۰ درصد حجمی)، پلاژیوکلاز (۱۵-۲۰ درصد حجمی)، کوارتز (۱۵-۲۵ درصد حجمی)، آمفیبول (۱۰-۱۵ درصد حجمی)، بیوتیت (۵-۱۵ درصد حجمی) و کلینوپیروکسن (کمتر از ۵ درصد حجمی) هستند. کانی‌های فرعی شامل تیتانیت،

مرجع [۱۳] استفاده شد که نمونه‌ها در آن جایابی شده‌اند (شکل ۴).

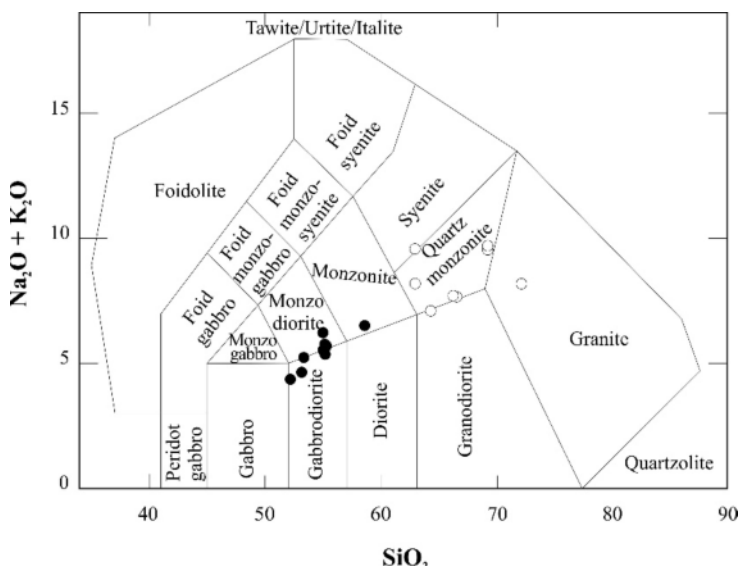
نشان می‌دهند که سنگ‌های درونی منطقه باعچه مریم مقدار SiO_2 بین ۵۲ تا ۷۲ درصد وزنی دارند. برای نامگذاری سنگ‌های نفوذی منطقه مورد بررسی به روش شیمیایی از نمودار

جدول ۱ داده‌های تجزیه شیمیایی اکسیدهای عناصر اصلی به روش XRF در منطقه باعچه مریم جنوب قروه (بر حسب درصد وزنی).

Sample No.	FG13	FG171	G183	FG092	G197	G198	FG148	FG084	FG085	FG112	FG142	FG195	FG227	FG64	FG28	FG215	FG194
Oxides (wt%)																	
SiO ₂	۵۵,۰۴	۶۳,۰۲	۶۴,۳۲	۵۳,۳۲	۶۶,۳۴	۵۳,۰۱	۵۲,۰۲	۵۸,۶۰	۵۵,۲۰	۶۶,۵۸	۵۵,۰۲	۶۶,۰۳	۵۵,۰۶	۷۲,۱۴	۶۹,۴۶	۵۵,۲۸	۶۹,۲۸
TiO ₂	۱,۸۸	۰,۷۶	۰,۷۰	۱,۵۳	۰,۷۶	۱,۴۵	۱,۴۳	۱,۶۴	۲,۴۳	۰,۷۱	۱,۷۲	۰,۸۳	۱,۱۳	۰,۰۲	۰,۲۵	۱,۱۵	۰,۰۴
Al ₂ O ₃	۱۴,۴۳	۱۵,۰۲	۱۴,۳۱	۱۵,۳۴	۱۵,۰۷	۱۴,۰۱	۱۴,۹۵	۱۴,۹۵	۱۲,۳۲	۱۴,۹۹	۱۳,۹۳	۱۴,۷۳	۱۳,۶۹	۱۳,۶۹	۱۳,۷۱	۱۵,۲۲	۱۳,۷۱
Fe ₂ O ₃	۱۰,۰۱	۴,۹۴	۵,۶۹	۹,۳۶	۴,۲۷	۱۰,۰۱	۹,۸۹	۹,۰۰	۱۱,۷۷	۴,۲۷	۹,۹۳	۶,۰۱	۹,۳۹	۲,۰۳	۲,۷۰	۹,۳۷	۲,۲۱
MnO	۰,۱۵	۰,۰۵	۰,۰۴	۰,۱۱	۰,۰۷	۰,۱۳	۰,۱۴	۰,۱۴	۰,۱۴	۰,۰۶	۰,۱۴	۰,۰۷	۰,۰۹	۰,۰۳	۰,۰۷	۰,۰۸	۰,۰۳
MgO	۳,۱۶	۱,۰۲	۱,۲۶	۴,۱۶	۱,۵۴	۵,۱۱	۵,۰۹	۲,۳۰	۳,۲۲	۱,۵۹	۴,۰۹	۱,۲۴	۲,۲۸	۰,۰۸	۰,۸۹	۲,۴۲	۰,۳۵
CaO	۹,۷۸	۶,۰۶	۶,۲۴	۱۱,۳۶	۳,۸۴	۱۲,۹۸	۱۳,۰۰	۶,۴۵	۹,۶۵	۴,۰۰	۱۰,۲۷	۵,۴۲	۱۰,۱۲	۴,۸۵	۴,۸۵	۱۰,۱۴	۵,۶۳
Na ₂ O	۴,۳۴	۵,۴۵	۴,۹۳	۳,۳۴	۵,۹۸	۳,۱۶	۳,۱۴	۴,۹۸	۳,۸۶	۵,۹۸	۴,۳۵	۴,۳۸	۳,۷۴	۴,۴۲	۵,۵۹	۳,۷۲	۵,۰۱
K ₂ O	۱,۹۱	۴,۰۲	۲,۱۲	۱,۹۳	۱,۶۷	۱,۴۹	۱,۲۳	۱,۵۲	۱,۵۳	۱,۶۵	۱,۱۸	۳,۷۵	۱,۸۷	۳,۷۷	۳,۸۹	۱,۹۲	۴,۶۳
P ₂ O ₅	۰,۶۴	۰,۱۱	۰,۱۳	۰,۲۳	۰,۱۱	۰,۲۱	۰,۱۹	۰,۳۷	۰,۲۲	۰,۱۱	۰,۲۳	۰,۱۳	۰,۱۹	۰,۰۸	۰,۰۹	۰,۱۸	۰,۰۸
total	۱۰۱,۳۴	۱۰۰,۴۵	۹۹,۹۲	۱۰۰,۸۸	۹۹,۶۵	۱۰۱,۵۶	۱۰۰,۱۴	۹۹,۹۷	۱۰۰,۳۴	۹۹,۹۴	۱۰۰,۸۶	۹۹,۵۸	۹۸,۹۸	۱۰۱,۱۱	۱۰۱,۱۰	۹۹,۴۹	۱۰۰,۹۷
A,NK	۱,۰۷	۱,۱۳	۱,۳۸	۲,۰۲	۱,۲۹	۲,۰۶	۲,۱۶	۱,۵۲	۱,۵۴	۱,۲۹	۱,۶۵	۱,۳۱	۱,۸۴	۱,۲۱	۱,۰۲	۱,۸۴	۱,۰۳
A,CNK	۰,۵۳	۰,۶۲	۰,۶۵	۰,۵۴	۰,۸۱	۰,۴۶	۰,۴۶	۰,۶۹	۰,۴۸	۰,۷۹	۰,۵۱	۰,۷۰	۰,۵۶	۰,۶۸	۰,۶۳	۰,۵۶	۰,۵۸

جدول ۲ داده‌های تجزیه شیمیایی عناصر اصلی به روش ICP-MS در منطقه باعچه مریم جنوب قروه.

Sample	FG195	FG227	FG64	FG28	FG215	FG194
Ba	۵۴۱,۷۸	۵۵۳,۲۱	۵۴,۱۴	۶۴۰,۰۱	۵۵۸,۳۴	۷۵,۰۲
Rb	۶۶,۸۱	۴۵,۴۲	۸۲,۷۱	۱۰۵,۸۷	۵۴,۶۴	۲۲۲,۴
Sr	۱۸۹,۲۳	۲۰,۲۹۸	۲۳,۴۶	۱۰۲۳	۲۱۴,۸۷	۵۳,۰۳
Zr	۱۵۸,۲۱	۱۴۹,۲	۱۲۲,۰۴	۱۷۱,۲۳	۱۵۰,۰۱	۱۱۵,۰۸
Nb	۲۱,۲۳	۱۹,۹۳	۳۳,۱۴	۶۲,۹۴	۱۸,۷۵	۴۳,۰۱
Ni	۴۳,۸۱	۱۷,۳۴	۴,۱۴	۱,۴۱	۱۸,۸۹	۳,۹۲
Pb	۱۳,۳۷	۱۶,۵۷	۲,۰۸	۳,۶۳	۱۷,۳۱	۲,۰۸
Co	۲,۸۷	۲,۹۵	۱,۰۹	۱,۳۸	۲,۴۵	۱,۲
Zn	۶۲,۷۲	۷۰,۰۳	۱۴,۷۵	۱۵,۳۲	۶۹,۰۴	۲,۳۲
Cr	۱۹۳,۵۹	۲۰,۱۱۲	۱۰۹,۸۳	۱۸۲,۱۲	۲۴۱,۰۶	۱۶۱,۱۵
La	۱۱,۱۵	۱۱,۸۷	۲,۰۱	۳۵,۲	۱,۰۹۸	۲,۰۱
Ce	۱۹,۷۹	۲۳,۸۳	۱۲,۱۱	۷۱,۴	۲۴,۰۱	۵,۶
Nd	۱۱,۳۱	۲۸,۱۴	۱۸,۷۱	۱۹,۱	۳۰,۱۲	۱۹,۰۱
Sm	۳,۰۱	۲,۲۸	۰,۹۹	۲۱,۰۱	۲,۹۹	۱,۰۱
Eu	۰,۹۸	۱,۰۵	۰,۰۱	۰,۶۵	۱,۳۴	۰,۰۱۲
Tb	۲,۸۳	۳,۶۴	۰,۲۱	۰,۲۹	۴,۰۵	۰,۲۳
Er	۱,۳۲	۱,۴۳	۰,۶۵	۱,۲	۱,۶۶	۰,۷۸
Yb	۱,۶۳	۱,۳۱	۰,۹۹	۶,۱۱	۱,۴۸	۵,۷۹
Y	۱۲,۳۱	۹,۸۲	۴,۹۱	۱۷,۹۳	۱۱,۳۸	۱۵,۳
Cs	۹,۳۴	۹,۸۷	۱۳,۰۱	۰,۶۳	۱۰,۲۸	۳,۰۱
Ta	۱,۳۲	۰,۸۳	۰,۹۸	۴,۱۱	۰,۸۱	۴,۰۶
Hf	۹,۳۱	۲,۲۲	۰,۵۹	۱,۱۴	۳,۵۱	۰,۶
Ga	۱۸,۸۷	۱۴,۳۲	۱۶,۱۸	۲۰,۲۱	۱۴,۸۵	۱۹,۸
Sc	۲۱,۰۲	۲۳,۱۸	۱۰,۹۳	۱۳,۱۴	۲۲,۶۹	۱۱,۰۲
Th	۱۷,۱۴	۲۳,۴۷	۱۶,۵۴	۲۰,۲۳	۲۴,۰۵	۱۷,۰۱
V	۱۸۵,۹۴	۱۰,۲۱۵	۰,۲۱	۱۵,۹۱	۱۳۴,۱۱	۴۹,۴۱
Cu	۲۲,۴۸	۹,۷۴	۴,۶۳	۰,۰۱	۱۰,۲۱	۴,۸۴
Mo	۲,۳۸	۴,۶۴	۰,۷۴	۱,۳۲	۴,۵۶	۰,۸۳
Sn	۶,۸۳	۶,۲۳	۹,۰۱	۷,۹۴	۴,۶۲	۸,۰۷

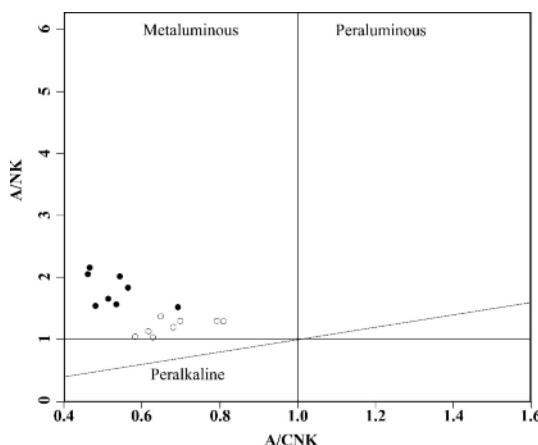


شکل ۴ نمودار SiO_2 نسبت به $(\text{Na}_2\text{O}+\text{K}_2\text{O})$ برای رده‌بندی شیمیایی سنگ‌های نفوذی منطقه مورد بررسی [۱۳] و موقعیت نمونه‌ها بر آن (دایره تو خالی: سنگ‌های اسیدی و دایره تپر: سنگ‌های حدوداً میانی).

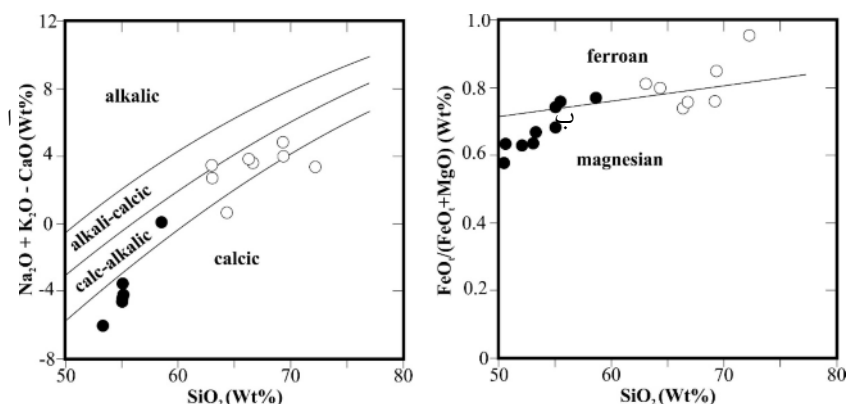
تبلور جدایشی است که تغییرات پیوسته سیلیس در جدایش را نشان می‌دهد. البته به طور قطعی نمی‌توان با استفاده از داده‌های عناصر اصلی، ماقمای برآمده از ذوب بخشی را از ماقمای ناشی از تبلور جدایشی تفکیک نمود. بر اساس شکل ۶ ب، نمونه‌های مورد بررسی در واحدهای گرانیتی در مرز منگنزدار بیشتر مایل به آهن‌دار هستند و واحد دبوریتی در گستره منگنزدار واقع است. بخش‌های فلزی ممکن است در اثر ذوب بخشی از سنگ‌های مافیک طی جدایش بعدی ماقمای مافیک و ورود گرما به بستر به وجود آمده باشند.

برای بررسی و تفکیک سه فرایند مهم ذوب، تبلور بخشی و آمیختگی ماقمایی می‌توان از نمودار تغییرات عنصر ناسازگار نسبت به عنصر کاملاً سازگار بهره برد. اگر نقاط نماینده نمونه‌ها به صورت یک خط راست و تقریباً افقی رسم شود، تبلور بخشی فرایند اصلی است. این در حالی است که نقاط به صورت خط راست و تقریباً قائم نشان‌دهنده ذوب بخشی هستند و در صورتی که روند تغییرات طوری باشد که با افزایش در جهت X، Y، Z یا منحنی کاو را تشکیل دهد، فرایند موثر در دگرگونی ماقمایی، آمیختگی ماقمایی است (شکل ۷). چنان که در شکل ۷ دیده می‌شود، داده‌های مربوط به سنگ‌های منطقه مورد بررسی بر این نمودار روند مشابه با روند ۳ بر نمودار مرجع [۱۹] را نشان می‌دهند، یعنی فرایند غالب تشکیل این سنگ‌ها آمیختگی ماقمایی است.

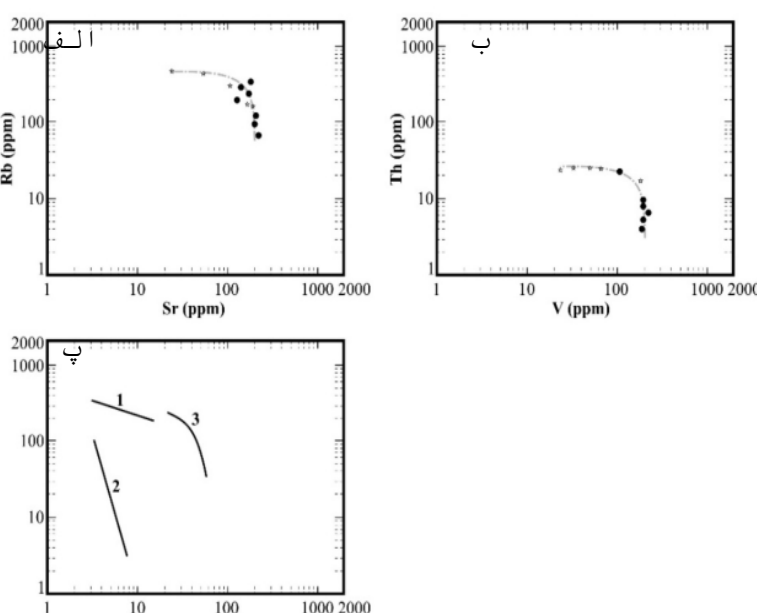
براساس نمودار A/CNK نسبت به A/NK که به نمودار تقسیم‌بندی ماقماها براساس درجه اشباع از آلومین معروف است [۱۶-۱۴]، سنگ‌های مورد بررسی در مجموعه آذرین نفوذی باعچه مریم در گستره متآلومین قرار دارند (شکل ۵). با توجه به نمودار $(\text{Na}_2\text{O}+\text{K}_2\text{O}-\text{CaO})$ نسبت به SiO_2 [۱۷]، شاخص اصلاح یافته آهکی-قلیایی (MALI) در سنگ‌های نفوذی برآمده از ترکیب کانی‌هاست. این در حالی است که روند جدایش در سنگ‌های آتشفسانی مقادیر MALI را کنترل می‌کند. تبلور جدایشی از مذاب فلدسپاتی منجر به روند موازی با مرزهای MALI می‌شود [۱۸]. فرایندهای انباشتی فلدسپاتی می‌توانند باعث تولید ترکیب‌هایی با مقدار MALI بالا و ماقماهای کلسیمی و کلسیمی-قلیایی شوند. این در حالی است که جدایش گرانیت ترکیب‌های قلیایی کلسیمی و یا قلیایی را به وجود می‌آورد. از فرایندهای دیگر قابل فهم می‌توان به آمیختگی ماقماها اشاره کرد. در روند جدایش ماقمایی با افزایش SiO_2 ، مقدار MALI افزایش می‌یابد، در حالی که در چند خاستگاهی بودن ماقما روند منطقی دیده نمی‌شود و نقاط روی نمودار چندین گستره را نشان می‌دهند. چنان که در شکل ۶ الف دیده می‌شود، نمونه‌های برداشت شده از گرانیت‌های مورد بررسی در گستره کلسیمی قلیایی و سنگ‌های دیوریتی در گستره کلسیمی هستند. نسبت FeO/(FeO+MgO) یا عدد Fe یک شاخص مهم در تاریخ



شکل ۵ نمودار تغییرات A/NK نسبت به A/CNK [۱۵] و موقعیت نمونه‌های مورد بررسی بر آن. (دایره تو خالی: سنگ‌های اسیدی و دایره توپر: سنگ‌های حدواسط).



شکل ۶ (الف) نمودار SiO_2 نسبت به $(Na_2O + K_2O - CaO)$ [۱۷] و (ب) نمودار SiO_2 ($FeOt/(FeOt + MgO)$) نسبت به SiO_2 [۱۷] و موقعیت نمونه‌های مورد بررسی بر آنها (دایره تو خالی: سنگ‌های اسیدی و دایره توپر: سنگ‌های حدواسط). تصویر الف سمت راست تصویر ب قرار گیرد.



شکل ۷ نمودار لگاریتمی (C1-C2) عناصر سازگار نسبت به عناصر ناسازگار: (الف) نمودار $Rb-Sr$, (ب) نمودار $Th-V$ مربوط به نمونه‌های منطقه مورد بررسی، (پ) روندهای ۱، ۲ و ۳ به ترتیب نشان‌دهنده تبلور بخشی، ذوب جدایشی و آمیختگی ماقمایی است [۱۹]. تصویر الف سمت راست تصویر ب قرار گیرد.

آمفیبول‌های کلسیمی قرار دارند [۲۰]. نسبت‌های کسر مولی $\text{Mg}(\text{Mg}+\text{Fe}^{+2})$ (X $\text{Mg}=\text{Mg}/(\text{Mg}+\text{Fe}^{+2})$) بین ۰,۵۷ تا ۰,۷۰ مقدار Si آمفیبول‌ها بین ۶,۸۸ تا ۷,۲۳ در هر واحد فرمولی است. با توجه به نمودار مرجع [۲۱]، ترکیب شیمیایی آمفیبول‌ها مگنتیوهوربلانند است.

شیمی کانی آمفیبول
آمفیبول فراوان‌ترین کانی فرومیزین در توده‌های نفوذی باعچه مریم است و تقریباً ۱۵ درصد حجمی سنگ را تشکیل می‌دهد. نتایج تجزیه ریزکاو الکترونی آمفیبول‌ها در جدول ۳ ارائه شده است. آمفیبول‌ها در سنگ‌های نفوذی منطقه مورد بررسی با داشتن مقادیر Ti و نیز $\text{Na}+\text{K}$ کمتر از ۰,۵ درصد در گروه

جدول ۳ نتایج تجزیه ریزکاو الکترونی آمفیبول‌ها در گرانیت‌وئیدهای باعچه مریم در جنوب قزوون (بر حسب درصد وزنی).

نوع سنگ شماره نمونه موقعیت	دیوریت FG084 مرکز	دیوریت FG084 لبه	دیوریت FG115 مرکز	دیوریت FG115 لبه	سینیت FG171 مرکز	سینیت FG171 لبه	سینیت FG145 لبه	سینیت FG145 مرکز
اکسیدها								
SiO_2	۴۸,۱۱	۴۹,۵۸	۴۸,۶۸	۴۷,۳۹	۵۰,۰۶	۴۸,۰۱	۴۹,۸۷	۴۷,۹۱
TiO_2	۰,۶۴	۰,۴۶	۰,۷۶	۰,۶۵	۰,۳۸	۰,۷۵	۰,۶۲	۱,۱۹
Al_2O_3	۷,۰۴	۵,۶۶	۶,۶۵	۷,۲۲	۵,۳۲	۶,۵۳	۵,۳۴	۸,۸۴
FeO	۱۸,۲۰	۱۷,۶۹	۱۸,۱۱	۱۸,۴۳	۱۸,۳۴	۱۹,۱۱	۱۷,۱۲	۱۶,۱۰
MnO	۰,۵۱	۰,۴۰	۰,۴۴	۰,۴۶	۰,۴۷	۰,۵۲	۰,۸۷	۰,۷۵
MgO	۱۱,۲۹	۱۲,۲۳	۱۱,۳۸	۱۱,۰۳	۱۱,۸۴	۱۰,۸۳	۱۲,۹۸	۱۱,۵۵
CaO	۱۱,۸۸	۱۱,۷۹	۱۱,۹۹	۱۱,۹۹	۱۱,۸۹	۱۱,۶۱	۱۱,۴۵	۱۱,۲۵
Na_2O	۱,۱۳	۰,۹۸	۱,۱۴	۱,۱۶	۰,۹۸	۱,۲۰	۰,۹۱	۱,۱۷
K_2O	۰,۶۶	۰,۵۱	۰,۶۴	۰,۶۸	۰,۴۷	۰,۶۴	۰,۴۵	۰,۵۹
Cr_2O_3	۰,۰۰	۰,۰۰	۰,۰۴	۰,۰۰	۰,۰۱	۰,۰۰	۰,۰۰	۰,۰۰
مجموع	۹۹,۴۵	۹۹,۳۰	۹۹,۸۳	۹۹,۱۲	۹۹,۷۶	۹۹,۱۹	۹۹,۶۱	۹۹,۳۷
تعداد کاتیون‌ها بر پایه ۲۳ اکسیژن								
Si	۷,۰۰	۷,۱۶	۷,۰۶	۶,۹۴	۷,۲۳	۷,۰۳	۷,۱۲	۶,۸۸
Al^{iv}	۱,۰۰	۰,۸۴	۰,۹۴	۱,۰۶	۰,۷۷	۰,۹۷	۰,۸۸	۱,۱۲
Al^{vi}	۰,۲۱	۰,۱۳	۰,۲۰	۰,۲۱	۰,۱۴	۰,۱۵	۰,۰۲	۰,۳۷
Al^{total}	۱,۲۱	۰,۹۶	۱,۱۴	۱,۲۶	۰,۹۱	۱,۱۳	۰,۹۰	۱,۵۰
Ti	۰,۰۷	۰,۰۵	۰,۰۸	۰,۰۷	۰,۰۴	۰,۰۸	۰,۰۷	۰,۱۳
Cr	۰,۰۰	۰,۰۰	۰,۰۰	۰,۰۰	۰,۰۰	۰,۰۰	۰,۰۰	۰,۰۰
Fe^{+3}	۰,۵۱	۰,۵۹	۰,۴۰	۰,۴۹	۰,۵۱	۰,۵۶	۰,۸۹	۰,۵۹
Fe^{+2}	۱,۷۰	۱,۵۵	۱,۸۰	۱,۷۷	۱,۷۰	۱,۷۸	۱,۱۶	۱,۳۴
Mn	۰,۰۶	۰,۰۵	۰,۰۵	۰,۰۶	۰,۰۶	۰,۰۶	۰,۱۱	۰,۰۹
Mg	۲,۴۵	۲,۶۴	۲,۴۶	۲,۴۱	۲,۵۵	۲,۳۶	۲,۷۶	۲,۴۷
Ca	۱,۸۵	۱,۸۲	۱,۸۶	۱,۸۸	۱,۸۴	۱,۸۲	۱,۷۵	۱,۷۳
Na	۰,۳۲	۰,۲۸	۰,۳۲	۰,۳۳	۰,۲۷	۰,۳۴	۰,۲۵	۰,۳۳
K	۰,۱۲	۰,۰۹	۰,۱۲	۰,۱۳	۰,۰۹	۰,۱۲	۰,۰۸	۰,۱۱
OH^*	۲,۰۰	۲,۰۰	۲,۰۰	۲,۰۰	۲,۰۰	۲,۰۰	۲,۰۰	۲,۰۰
مجموع	۱۸,۵۰	۱۸,۱۶	۱۸,۴۴	۱۸,۶۰	۱۸,۱۱	۱۸,۴۱	۱۷,۹۸	۱۸,۶۶
$(\text{Ca}+\text{Na})_{(B)}$	۲,۰۰	۲,۰۰	۲,۰۰	۲,۰۰	۲,۰۰	۲,۰۰	۲,۰۰	۲,۰۰
$\text{Na}_{(B)}$	۰,۱۵	۰,۱۸	۰,۱۴	۰,۱۲	۰,۱۶	۰,۱۸	۰,۲۵	۰,۲۷
$(\text{Na}+\text{K})_{(A)}$	۰,۲۹	۰,۱۹	۰,۳۰	۰,۳۴	۰,۲۰	۰,۲۸	۰,۰۹	۰,۱۷
$\text{Mg}/(\text{Mg}+\text{Fe}^{+2})$	۰,۵۹	۰,۶۳	۰,۵۸	۰,۵۸	۰,۶۰	۰,۵۷	۰,۷۰	۰,۶۵
$\text{Fe}^{+2}/(\text{Mg}+\text{Fe}^{+2})$	۰,۴۱	۰,۳۷	۰,۴۲	۰,۴۲	۰,۴۰	۰,۴۳	۰,۳۰	۰,۳۵
$\text{Fe}^{+3}/(\text{Fe}^{+3}+\text{Al}^{vi})$	۰,۷۱	۰,۸۲	۰,۶۷	۰,۷۰	۰,۷۹	۰,۷۸	۰,۹۸	۰,۶۱
$\text{Al}^{iv}/(\text{Al}^{iv}+\text{Al}^{vi})$	۰,۱۷	۰,۱۳	۰,۱۸	۰,۱۶	۰,۱۵	۰,۱۴	۰,۰۲	۰,۲۵

[۲۸]، می‌توان گستره فشار حدود ۱/۵۸ تا ۳/۰۱ کیلوبار را برای دیوریت‌ها و ۱/۲۷ تا ۲/۳۵ کیلوبار را برای گرانیت‌ها برآورد کرد.

که تقریباً با نتایج پیشین [۲۵] هم‌خوانی دارد. فشار جایگزینی گرانیت‌وئیدهای باعجه مریم بر پایه زمین‌فشارسنج هورنبلاند [۲۸] برابر با ۲/۵۶ کیلوبار برای مرکزهای مگنزیوهومنبلاند و ۲/۲۹ کیلوبار برای لبه‌های آن برآورد شد (جدول ۴).

مقدار $(Fe+Mg)$ برای آمفیبولهای توده گرانیت‌وئیدی باعجه مریم به نسبت پایین است و در گستره باریک ۰/۳۰ تا ۰/۴۲ (جدول ۳) تغییر می‌کند. به باور ونز [۳۱]، با حضور مجموعه کانیایی چون تیتانیت، مگنتیت و کوارتز در سنگ‌های گرانیتی، می‌توان گریزندگی نسبی اکسیژن را برآورد کرد. بر این اساس، رخداد آمفیبولهای مگنزیوهومنبلاند، تیتانیت‌های خودشکل و مگنتیت نشان‌دهنده گریزندگی اکسیژن بالا [۳۲] و بیانگر شرایط اکسایشی در شکل‌گیری ماقماهی سازنده گرانیت‌وئید باعجه مریم است. گریزندگی نسبی اکسیژن در سنگ‌های گرانیت‌وئیدی محاسبه شده بر اساس رابطه مرجع [۳۱] برابر با 10^{-16} تا 10^{-18} بوده (جدول ۴) که نشان‌دهنده گریزندگی به نسبت بالای اکسیژن ماقما در زمان تبلور است و با نتایج سنگنگاری هم‌خوانی کامل دارد.

ترکیب آمفیبولهای گریزندگی اکسیژن توده گرانیت‌وئیدی به روش مرجع [۲۹] نیز محاسبه شد. نتایج نشان داد که مقادیر گریزندگی اکسیژن از ۱۳-۱۵ تا ۱۵-۱۶ بار است که در بالای بافر نیکل-اکسید نیکل قرار می‌گیرد.

زمین دما- فشارسنجی آمفیبول و محاسبه گریزندگی اکسیژن و مقدار آب ماقما

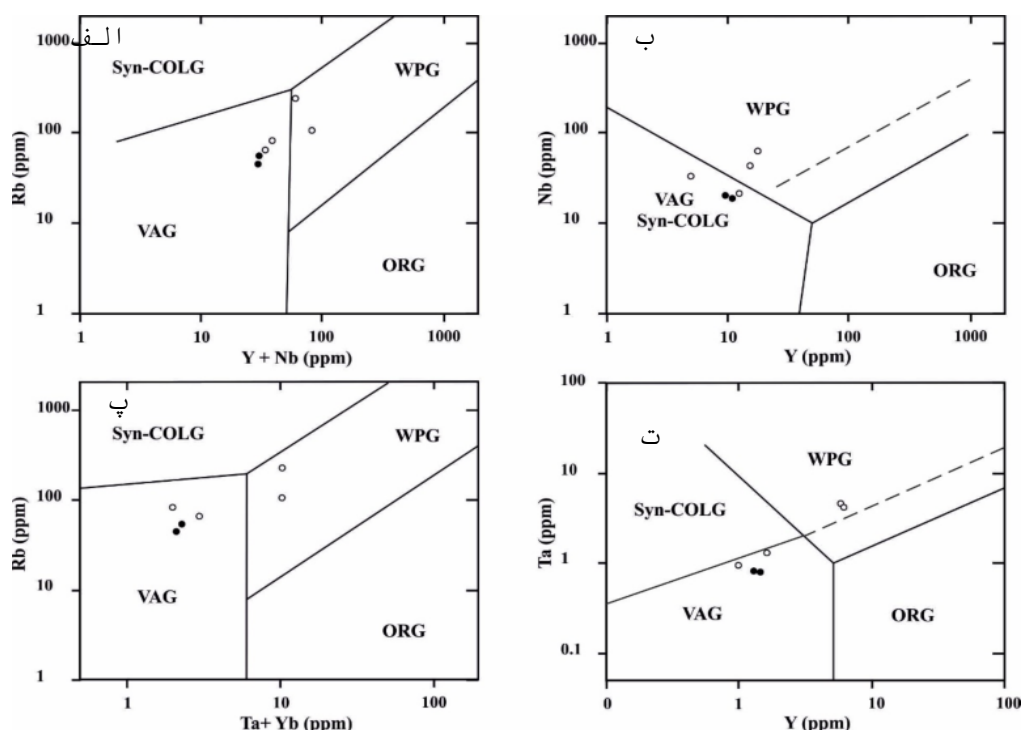
بررسی دگرگونی یک توده گرانیت‌وئیدی نیازمند آگاهی از عمقی است که کانی‌ها در آن متبلور شده‌اند. آمفیبول‌ها مفیدترین کانی‌ها در تعیین دما و فشارسنجی سنگ‌های آذرین آهکی قلیایی هستند، زیرا تقریباً در همه توده‌های نفوذی آهکی قلیایی یافت می‌شوند و در گستره وسیعی از دما و فشار پایدارند [۲۲، ۲۳]. از آن‌جا که هورنبلاند در توده‌های نفوذی مورد بررسی همراه با کوارتز، فلدسپار پاتاسیم، پلاژیوکلاز، بیوتیت، مگنتیت و تیتانیت است، زمین‌فشارسنجی بر اساس مقدار آلومینیم در هورنبلاند کاربردی بوده و از دقت بالایی برخوردار است [۲۴]. برای تعیین فشار ماقما در زمان شکل-گیری هورنبلاند از روابط ارائه شده در مراجع [۲۸-۲۵] استفاده شد (جدول ۴). اساس محاسبه فشار در این روابط تنها مقدار آلومینیم کل (Al_{total}) در مگنزیوهومنبلاند است. ریدافی و همکاران [۲۹] داده‌های تجربی به دست آمده از زمین-فسارسنجی موجود را بازبینی کرده و رابطه دما- فشارسنجی جدیدی را برای محاسبه فشار، دما، عمق، گریزندگی اکسیژن و مقدار H_2O ماقماهای آهکی قلیایی ارائه نمودند.

میانگین فشار تبلور ماقماهی گرانیت‌وئیدی محاسبه شده بر اساس روش مرجع [۲۵] در بخش دیوریتی برابر با ۲/۲۲ کیلوبار (معادل عمق ۸/۲۱ کیلومتر) و دمای تشکیل آن ۷۱۱ درجه سانتی‌گراد بوده در حالی که برای بخش گرانیتی توده مورد بررسی پایین‌تر و برابر با ۱/۳ کیلوبار (معادل ۴/۸ کیلومتر) و ۶۹۰ درجه سانتی‌گراد است. هم‌چنین بر اساس نمودار مرجع

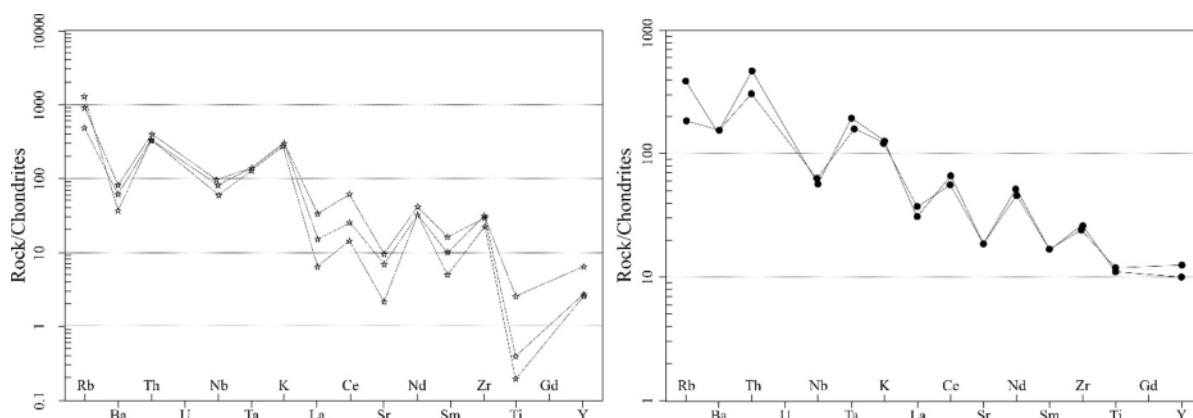
جدول ۴ محاسبه فشار، دما و گریزندگی اکسیژن (fO_2) در گرانیت‌وئیدهای باعجه مریم در جنوب قزوه به روش‌های زمین دما- فشارسنجی گوناگون.

شماره نمونه نوع سنگ موقعیت	رابطه	Gh15 دیوریت مرکز	Gh15 دیوریت لبه	Gh68 دیوریت مرکز	Gh68 دیوریت لبه	Gh84 سینیت مرکز	Gh84 سینیت لبه	Gh78 سینیت لبه	Gh78 سینیت مرکز
۲۲] فشار	$P ((\pm 3.0 \text{ kbar}) = -3.92 + 5.03 Al_{total})$	۲,۱۵	۰,۹۳	۱,۸۰	۲,۴۴	۰,۶۴	۱,۷۵	۰,۶۰	۳,۶۱
۲۶] فشار	$P (\pm 1.0 \text{ kbar}) = -4.67 + 5.64 Al_{total}$	۲,۰۵	۰,۶۸	۱,۶۶	۲,۳۷	۰,۳۵	۱,۵۹	۰,۳۱	۲,۶۸
۲۷] فشار	$P (\pm 0.5 \text{ kbar}) = -3.46 + 4.23 Al_{total}$	۱,۶۴	۰,۶۲	۱,۳۵	۱,۸۹	۰,۳۷	۱,۳۱	۰,۳۴	۲,۸۷
۲۸] فشار	$P (\pm 0.6 \text{ kbar}) = -3.01 + 4.76 Al_{total}$	۲,۷۳	۱,۵۸	۲,۴۱	۳,۰۱	۱,۳۰	۲,۳۵	۱,۲۷	۴,۱۱
۲۵] فشار	$P (\text{kbar}) = -3.53 + 5.03 Al_{total}$	۲,۵۴	۱,۳۲	۲,۱۹	۲,۸۳	۱,۰۳	۲,۱۴	۰,۹۹	۴,۰۰
فشار متوسط ($P_{average}$)		۲,۶۴	۱,۴۵	۲,۳۰	۲,۹۲	۱,۱۷	۲,۲۵	۱,۱۳	۴,۰۵
۳۰] دما	$T (^{\circ}\text{C}) = 25.3 P_{ave.} (\text{kbar}) + 654.9$	۷۲۱,۶۱	۶۹۱,۶۳	۷۱۳,۰۸	۷۲۸,۷۲	۶۸۴,۳۹	۷۱۱,۷۰	۶۸۲,۴۷	۷۵۷,۴۶
Log fO_2 [۳۱]	$\text{Log } fO_2 = -30930/T_A + 14.98 + 0.142 (P_{average}^{-1})T_1$	-۱۶,۱۱	-۱۷,۰۸	-۱۶,۳۸	-۱۷,۸۹	-۱۷,۳۲	-۱۶,۴۳	-۱۷,۳۵	-۱۵,۰۳

(شکل ۹). با توجه به حضور کانی‌های فرومیزین و فراوانی آن‌ها در نمونه‌های فلزی، افزایش Ta را نمی‌توان از نظر دور دانست و این می‌تواند از عوامل انتقال تعدادی از نمونه‌ها از محیط قوس آتشفشاری به محیط درون صفحه‌ای باشد. افزون بر آن، فرایند دگرنهادی نیز می‌تواند از دیگر عوامل این جابه‌جایی در نظر گرفته شود (شکل‌های ۹ پ و ت).



شکل ۸ نمودارهای مرجع [۲۰] و موقعیت نمونه‌های مورد بررسی بر آن‌ها (دایره تو خالی: سنگ‌های اسیدی و دایره توپر: سنگ‌های حدواسط). تصاویر الف و پ سمت راست تصاویر ب و ت قرار گیرند.



شکل ۹ نمودارهای عناصر خاکی نادر سنگ‌های منطقه باغچه‌مریم بهنجارشده نسبت به کندریت [۲۴] (نشانه ★: سنگ‌های اسیدی و ●: سنگ‌های حدواسط).

جاگاه زمین ساختی و خاستگاه مآگما

پژوهش‌های بسیاری پیشنهاد می‌کنند که عناصر نادر می‌توانند برای تفکیک مجموعه‌های زمین ساختی مختلف مآگمای گرانیتئیدی استفاده شوند [۳۴، ۳۳]. بر اساس نمودارهای زمین ساختی Rb نسبت به Y+Nb و Nb نسبت به Y (شکل-های ۸ الف و ب)، نمونه‌های فلزی در گستره قوس آتشفشاری، همزمان با برخورد و محیط درون صفحه‌ای (WPG) قرار دارند

ماگمای بازی گوشه‌ای در پی سنگ پوسته زیرین تامین شده است [۴۱، ۴۲]. نفوذ ماگمای گوشه‌ای و ذوب بخشی پوسته زیرین می‌تواند همراه با فرایندهایی چون آمیختگی ماقمایی و تغییرات ایزوتوپی باشد. دلالت ماگمای گوشه‌ای در تشکیل ماگمای دیوریتی با شاخص‌های صحرایی، کانی‌شناسی و ترکیب شیمیایی این توده گرانیتوئیدی پذیرفتی است.

برداشت

مجموعه نفوذی‌های باغچه مریم در جنوب قروه و در بخش شمالی پهنه آذرین- دگرگونی سندج- سیرجان رخنمون دارد که شامل سنگ‌های دیوریت، مونزودیوریت، گرانیت، سینیت و آپلت است. بررسی روابط صحرایی بین دو واحد حدواسط و اسیدی نشان می‌دهد که مرز بین واحدهای منطقه تدریجی نیست که بر اساس یافته‌های کانی‌شناسی، سنگ‌شناسی و زمین‌شیمیایی نیز می‌توان ناپیوستگی ناشی از جدایش را در این واحدها دید. نمودارهای زمین‌شیمیایی نشان می‌دهند که بین دو واحد اسیدی و حدواسط وقفه کوچکی وجود دارد که تا حدی پیوستگی آن‌ها را از بین می‌برد. بر پایه نتایج زمین‌شیمیایی و کانی‌شناسی، این سنگ‌ها از نوع I، آهکی قلیایی و متألومین هستند. نمودارهای بهنجار شده عناصر نادر و خاکی نادر نشانگر غنی شدگی از عناصر LILE و ناهنجاری منفی Nb، P و Ti هستند که مشابه با الگو مناطق فرورانش و خاستگاه زمین‌ساختی مرز فعال قاره‌ای است. بررسی‌های زمین‌فشار سنگی بر هورنبلاندھای موجود در گرانیتوئیدها نشان می‌دهد که ماگمای سازنده این سنگ‌ها خاستگاه گوشه‌ای با آمیختگی پوسته‌ای دارد که این آمیختگی در مرحله‌های گوناگون و با مقادیر مختلف رخ داده است. بر پایه محاسبات زمین‌دما- فشارسنگی، میانگین دما در بخش دیوریتی ۷۱ درجه سانتی‌گراد و عمق تشکیل حدود ۸ کیلومتر و در بخش گرانیتی ۶۹ درجه سانتی‌گراد و حدود ۵ کیلومتر برآورد شد.

مراجع

- [1] Hoseini M., "Geological map of Qorveh 1:100000", No.5560, Geological Survey of Iran, Tehran, Iran.
- [2] Torkian A., Khalili M., Sepahi A. A., "Petrology and geochemistry of the I-type calc-alkaline Qorveh granitoid complex, Sanandaj-Sirjan zone, western Iran", Neues

در سنگ‌های مجموعه باغچه مریم، الگوی عناصر کمیاب در نمودارهای چند عنصری غنی شدگی از عناصر خاکی نادر سبک (LREE) و تهی شدگی از عناصر خاکی نادر سنگین (HREE) را نشان می‌دهد. بر اساس الگوهای بهنجار شده نسبت به کندریت در واحدهای اسیدی، LREE‌ها با شبیه تندر کاهش می‌یابند و HREE‌ها روند ملایمی دارند، ولی قوسی برای عناصر خاکی نادر متوسط (MREE) دیده می‌شود. این الگو مشابه الگوی فرورانش کرانه قاره است. نمودارهای عنکبوتی واحد اسیدی باغچه مریم (شکل ۹) از نظر عناصر سنگدوست بزرگ یون (LILE) چون La, Ca, K, Rb و Th غنی شدگی آشکاری را نشان می‌دهند و بهطور نسبی از عناصر با شدت میدان بالا (HFSE) مانند Ti, Y, Nb و Yb تهی شدگی بارزی دارند. این از ویژگی‌های گرانیتوئیدهای قوس آتشفسانی وابسته به مناطق فرورانش است [۳۵]. با این حال، آلایش با مواد پوسته‌ای نیز می‌تواند این تغییرات را به همراه داشته باشد [۳۶]. این نمونه‌ها یک غنی شدگی در LREE‌ها، یک تهی شدگی در HREE‌ها و نیز ناهنجاری منفی در Eu را نشان می‌دهند. ناهنجاری منفی Nb نیز شاخص مناطق فرورانش و کرانه‌های فعال قاره‌ای است [۱۵]. بر اساس الگوی بهنجارشده عناصر خاکی نادر در واحد دیوریتی نسبت به کندریت [۳۷]، LREE‌ها نیز در مقایسه با HFSE فراوانی و غنی شدگی دارند. دیوریت‌ها با الگوی عناصر خاکی نادر جدایش یافته، نبود ناهنجاری Eu و الگوی HREE تخت مشخص می‌شوند. جدایش ناپیوسته‌ای در این واحد دیده می‌شود که با ویژگی‌های پهنه فرورانش همخوانی دارد.

بر اساس نتایج این پژوهش، پیدایش توده‌های مورد بررسی را نباید به سادگی ناشی از جدایش از یک ماگمای بازالتی در پهنه فرورانش دانست. عدد Mg در مگنزیوهرنبلاندھای مورد بررسی در گستره ۰،۵۷-۰،۷۰ به دست آمد که خاستگاهی با آمیختگی پوسته و گوشه را نشان می‌دهد [۳۹، ۳۸]. فراوانی بالای عناصر Rb, Th, K و کمبودن مقدار عناصر Sr, P و Ti در نمونه‌های مورد بررسی نیز گویای وجود مذاب پوسته‌ای است [۴۰، ۳۴].

با توجه به یافته‌های کانی‌شناسی، سنگ‌شناسی، زمین‌شیمیایی و ویژگی‌های زمین‌شناسی به نظر می‌رسد که توده‌های نفوذی باغچه مریم در اثر ذوب بخشی سنگ‌های مادر پوسته زیرین به وجود آمده‌اند و گرمای لازم برای ذوب از حضور

- peraluminous leucogranite (Ebrahim-Attar granite) as evidence for extensional tectonic regime in the Cretaceous, Sanandaj-Sirjan zone, northwest Iran”, Chemie der Erde- Geochem, 76 (2016) 529-541.*
- [13] Middlemost E.A.K., “Iron oxidation norms and the classification of volcanic rocks”, Chemical Geology, 77(1985) 19-26.
- [14] Shand S.J., “Eruptive rocks, thire genesis, composition, classification and thire relation to ore deposite (3rd Ed)”, John Witty and Sons, 488 pp (1997).
- [15] Maniar P.D., Piccoli P.M., “Tectonic discrimination of granitoids”, Geological Society of America Bulletin, 101(1989) 635-643.
- [16] Irvin T.N., Baragar W.R.A., “A guide to the chemical classification of the common rocks”, Canadian Journal of Earth Sciences, 8 (1971) 523-548.
- [17] Frost B.R., Barnes C.G., Collins W.J., Arculus R.J., Ellis D.J., Frost C.D., “A geochemical classification for granitic rocks”, Journal of Petrology, 42(2001) 2033-2048.
- [18] Harker A., “The natural history of igneous rocks”, Methneu, London, (1909) 344 p.
- [19] Cocherie A., “Geochimie des Terres Rares dans les granitoides”, Thesis, University of Rennes, Rennes, (1987) 116 pp .
- [20] Pearce J.A., Harris N., Tindle A.G., “Trace element discrimination diagrams for tectonic interpretation of granitic rocks”, Journal of Petrology, 25 (4) (1984) 956-983.
- [21] Leake B.E., Woolley A.R., Arps C.E.S., Birch W.D., Gilbert M.C., Grice J.D., Hawthorne F.C., Kato A., Kisch H.J., Krivovichev V.G., Linthout K., Laird J., Mandarino J.A., Maresch W.V., Nickel E.H., Rock N.M.S., Schumacher J.C., Smith D.C., Stephenson N.C.N., Ungaretti L., Whittaker E.J.W., Youshi G., “Nomenclature of amphiboles: report of the subcommittee on amphiboles of the International Mineralogical Association, Commission on new minerals and mineral names”, Canadian Mineralogist, 35: 219-246.
- [22] Stein E., Dietl C., “Hornblende thermobarometry of granitoids from the Central Odenwald (Germany) and their implications for the geotectonic development of Odenwald. Mineralogy and Petrology, 72: 185-207.
- [23] Hammarstrom J.M., Zen E., “Aluminum in hornblende: An empirical igneous geobarometer”, American Mineralogist, 71(1986) 1297-1313.

Jahrbuch für Mineralogie Abhandlungen 185(2): 131-142.

[3] Mahmoudi S., Corfu F., Masoudi F., Mehrabi B., Mohajel M., “U-Pb dating and emplacement history of granitoid plutons in the northern Sanandaj-Sirjan Zone, Iran”, Journal of Asian Earth Sciences 41(4) (2011) 238-249.

[4] Sepahi A. A., Maanijou M., Salami S., Gardideh S., Khaksar T., “Mineral chemistry and geothermobarometry of Moshirabad pluton, Qorveh, Kurdistan, western Iran”, Island Arc 21: (2012) 170-187.

[5] Maanijou M., Aliani F., Miri M. M., Lentz D. R., “Geochemistry and petrology of igneous assemblage in the south of Qorveh area, west Iran”. Chemie der Erde 73 (2013) 181– 196.

[6] Torkian A., “Mineral chemistry of the granitoid Ghalilan body (SW-Qorveh, Kurdistan) and its estimates of physicochemical parameters”, Iranian Journal of Petrology 5(20): 35-52 (in Persian).

[7] Azizi H. Asahara, Minami Y., Anma M. R., “Sequential magma injection with a wide range of mixing and mingling in Late Jurassic plutons, southern Ghorveh, western Iran”, Journal of Asian Earth Sciences (2020).

[8] Azizi H., Nouri Sandiani F., Stern B., Azizi M., Lucci F., Asahara Y., Zarinkoub M.H., Chung S.L., “New evidence for Jurassic continental rifting in the northern Sanandaj Sirjan Zone, western Iran: the Ghalaylan seamount, southwest Ghorveh, International Geology Review (2018).

[9] Nouri Sandiani F., Azizi H., Jan G., Asahara Y., Orihashi Y., Yamamoto K., Tsuboi M., Anma R., “Age and petrogenesis of Na-rich felsic rocks in western Iran: Evidence for closure of the southern branch of the Neo-Tethys in the Late Cretaceous”, Tectonophysics, 671(2016) 151-172.

[10] Yajam S., Montero P., Scarrow J.H., Ghamghash J., Razavi S.M.H., Bea F., “The spatial and compositional evolution of the Late Jurassic Ghorveh-Dehgolan plutons of the Zagros Orogen, Iran: SHRIMP zircon U-Pb and Sr and Nd isotope evidence”, Geologica Acta, 13 (2015) 25-43.

[11] Dilek Y., Imamverdiyev N., Altunkaynak S., “Geochemistry and tectonics of Cenozoic volcanism in the Lesser Caucasus (Azerbaijan) and the peri-Arabian region: collision-induced mantle dynamics and its magmatic fingerprint”, International Geology Review 2010; 52: 536-578.

[12] Azizi H., Mohammadi K., Asahara Y., Tsuboi M., Daneshvar N., Mehrabi B., “Strongly

- constrains on their P-T dependence”, European Journal of Mineralogy, 5 (1993) 231-291.*
- [33] Pearce J.A., Harris N., Tindle A.G., “*Trace element discrimination diagrams for tectonic interpretation of granitic rocks*”, Journal of Petrology, 25 (4) (1984) 956-983.
- [34] Harris N.B., Pearce J.A., Tindle A.G., “*Geochemical characteristics of collision tectonic*”, Special Publication of Geological Society of London, 19 (1986) 67-81.
- [35] Wilson M., “*Igneous Petrogenesis*”, Unwin Hyman, London (1989) 461 pp.
- [36] Rollinson H., “*Using geochemical data: evaluation, presentation, interpretation*”, Longman Scientific and Technical, Harlow, (1993) 352 p.
- [37] Sun S.S., McDonough W.F., “*Chemical and isotopic systematics of oceanic basalts: implication for mantle composition and processes*, In: Saunders, A.D. Norry, J.M. (Eds.), *Magmatism in Ocean Basins*”, Geological Society of London Special publication, 42: 313-345.
- [38] Huaimin X., Shuwen D., Ping J., “*Mineral chemistry, geochemistry and U-Pb SHRIMP zircon data of the Yangxin monzonitic intrusive in the foreland of the Dabie orogen*”, Science in China, Series D., Earth Sciences 49 (2006) 684-695.
- [39] Xie Y. W., Zhang Y. Q., “*Peculiarities and genetic significance of hornblende from granite in the Hengduanshan region*”, Acta Metallurgica Sinica 10 (1990) 35-45 (in Chinese).
- [40] Chappell B. W., White A. J.R., “*I and S-type granites in the Lachlan Fold Belt*”, Earth Sciences 83: 1-26.
- [41] Gupta A.A., “*Igneous rocks*”, Allied publishers limited, India, New Delhi (1998) 690 pp.
- [42] Clemens J.D., “*S-type granitic magmapetrogenetic issues, model and evidence*”, Earth sciense. Rev 61 (2003) 1-18.
- [24] Helmy H.M., Ahmad A.F., El Mahallawi M.M., Ali SM., “*Pressure, Temperature and Oxygen fugacity conditions of calc-alkaline granitoids, Eastern Desert of Egypt and tectonic implications*”, Journal of African Earth Sciences, 38: 255-268.
- [25] Blundy J.D., Holland T.J.B., “*Calcic amphibole equilibria and a new amphibole-plagioclase geothermometer: Reply to the comments of Hammarstrom and Zen, and Rutherford and Johnson*”, Contributions to Mineralogy and Petrology, 111(1992) 269-272.
- [26] Hollister L.S., Grisson G.C., Peters E.K., Stowell H.H., Sisson V.B., “*Confirmation of the empirical correlation of Al in hornblende with pressure of solidification of calc-alkaline plutons*”, American Mineralogist, 72: 231-239.
- [27] Johnson M.C., Rutherford M.J., “*Experimental calibration of an aluminum-in-hornblende geobarometer applicable to calc-alkaline rocks*”, Geology, 17 (9) (1989) 837-841.
- [28] Schmidt M.W., “*Amphibole composition in tonalite as a function of pressure: An experimental calibration of Al in-hornblende barometer*”, Contributions to Mineralogy and Petrology, 110(1992) 304-310.
- [29] Ridolfi F., Renzulli A., Puerini M., “*Stability and chemical equilibrium of amphibole in calc-alkaline magmas: an overview, new thermobarometric formulations and application to subduction-related volcanoes*”, Contributions to Mineralogy and Petrology, 160(2010) 45-66.
- [30] Vyhnař C.R., McSween H.Y., Speer J.A., “*Hornblende chemistry in southern Appalachian granitoids: implications for aluminum hornblende thermobarometry and magmatic epidote stability*”, American Mineralogist, 76 (1991) 167-188.
- [31] Wones D.R., “*Significance of the assemblage titanite+magnetite+quartz in granitic rocks*”, American Mineralogist, 74 (1989) 744-749.
- [32] Enami M., Suzuki K., Liou J.G., Bird D.K., “*Al-Fe³⁺ and F-OH substitutions in titanite and*